

А.М. Кириченко, доц., канд. техн. наук

Національний технічний університет України „Київський політехнічний інститут”

# Вплив попереднього навантаження на просторову жорсткість робочого органа верстата з механізмом паралельної структури

Визначено матриці жорсткості окремих ланок та загальну матрицю жорсткості робочого органа просторового механізму паралельної структури з ланками змінної довжини. Розглянуто вплив величини навантаження на просторову жорсткість.

**механізм паралельної структури, матриця жорсткості, навантаження**

Одним з важливих показників матеріалообробного технологічного обладнання, що впливає на точність обробки та якість обробленої поверхні, є жорсткість. На відміну від традиційного обладнання, жорсткість обладнання з механізмами паралельної структури носить складний просторовий характер, і для її опису використовується матриця просторової жорсткості [1].

У [2] показано, що матриця просторової жорсткості системи з  $n$  пружних ланок дорівнює сумі матриць жорсткості окремих ланок

$$K_O = \sum_{i=1}^n K_i, \quad (1)$$

де  $K_i$  – матриці жорсткості окремих ланок, що визначаються за формулою

$$K_i = k_i \mathbf{N}_i \mathbf{N}_i^T, \quad (2)$$

де  $k_i$  – жорсткість ланки;

$\mathbf{N}_i = \begin{bmatrix} \mathbf{n}_i \\ \mathbf{b}_i \times \mathbf{n}_i \end{bmatrix}$  для ланки у вигляді лінійної пружини або  $\mathbf{N}_i = \begin{bmatrix} 0 \\ \mathbf{n}_i \end{bmatrix}$  для ланки у вигляді

крутильної пружини;

© А.М. Кириченко, 2010

$\mathbf{n}_i$  – одиничний вектор осі ланки;

$\mathbf{b}_i$  – радіус-вектор точки прикріплення ланки.

Проте наведені залежності справедливі за умови відсутності зовнішнього навантаження, а в реальних конструкціях присутня сила ваги робочого органа та рухомих ланок, що може вплинути на параметри просторової жорсткості. В зв'язку з цим постає задача визначення матриці жорсткості просторового механізму паралельної структури при наявності попереднього навантаження та оцінки його впливу на величину жорсткості.

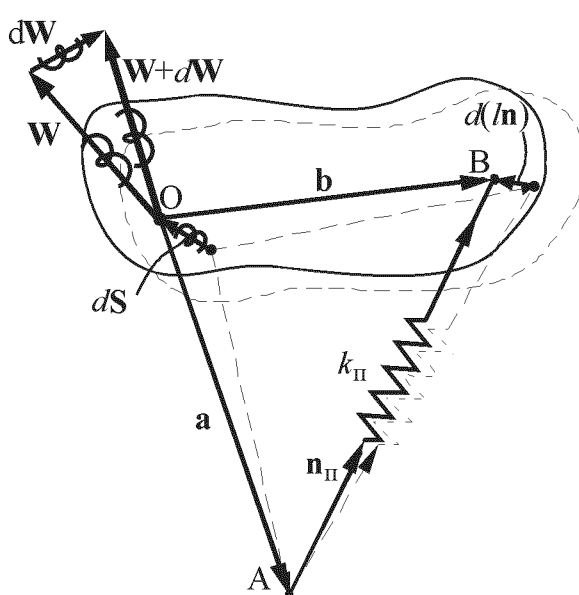


Рисунок 1 – Схема до визначення матриці жорсткості пружної ланки змінної довжини

Розглянемо окрему ланку змінної довжини з одиничним вектором  $\mathbf{n}_n$ , прикріплена до основи у точці А, заданий радіус-вектором  $\mathbf{a}$ , та до рухомого тіла у точці В, заданий радіус-вектором  $\mathbf{b}$  (рис. 1). Нехай у початку координат до рухомого тіла прикладене просторове навантаження у вигляді вектора шостого порядку  $\mathbf{W} = (\mathbf{f}^T \ \mathbf{m}^T)^T$ , де  $\mathbf{f} = (P_x, P_y, P_z)^T$  – вектор сил,  $\mathbf{m} = (M_x, M_y, M_z)^T$  – вектор моментів. Малі відносні переміщення описуються вектором шостого порядку  $d\mathbf{S} = (d\mathbf{r}^T \ \delta\mathbf{i}^T)^T$ , який фактично представляє собою диференціал шестивимірного вектора квазікоординат ( $d\mathbf{r} = (dx, dy, dz)^T$  – вектор малих лінійних переміщень,  $\delta\mathbf{i} = (\delta\theta_x, \delta\theta_y, \delta\theta_z)^T$  – вектор малих поворотів рухомого тіла).

Відносне подовження ланки під навантаженням  $\mathbf{W}$  складає  $\varepsilon = l/l_0$ , де  $l_0$  – початкова довжина ланки,  $l$  – довжина ланки у навантаженому стані. Нескінченно малі зміни довжини ланки  $dl$ , викликані нескінченно малими змінами навантаження  $d\mathbf{W}$ , необхідно віднести до нескінченно малих переміщень рухомого тіла  $d\mathbf{S}$ . Матриця жорсткості в даному випадку пов'язує між собою нескінченно малі відносні переміщення та нескінченно малі зміни прикладеного навантаження відносно початку координат

$$d\mathbf{W} = K d\mathbf{S}. \quad (3)$$

При переході від точки О до точки В рухомого тіла вектор повороту  $\delta\mathbf{i}$  залишається незмінним, а вектор переміщення  $d\mathbf{r}$  змінюється з врахуванням паралельного переносу

$$d\mathbf{r}_B = d\mathbf{r} - \mathbf{b} \times \delta\mathbf{i}. \quad (4)$$

Оскільки точка А нерухома, то відносно нерухомої системи координат

$$d\mathbf{r}_B = d(l\mathbf{n}). \quad (5)$$

Згідно з правилами диференціювання

$$d(l\mathbf{n}) = dl\mathbf{n} + l d\mathbf{n}. \quad (6)$$

Тоді

$$dl\mathbf{n} + l d\mathbf{n} = d\mathbf{r} - \mathbf{b} \times \delta\mathbf{i}. \quad (7)$$

Звідси

$$d\mathbf{r} = dl\mathbf{n} + l d\mathbf{n} + \mathbf{b} \times \delta\mathbf{i}. \quad (8)$$

Підставляючи у (3), одержуємо

$$d\mathbf{S} = \begin{bmatrix} dl\mathbf{n} + l d\mathbf{n} + \mathbf{b} \times \delta\mathbf{i} \\ \delta\mathbf{i} \end{bmatrix}. \quad (9)$$

Навантаження  $\mathbf{W}$  визначається як

$$\mathbf{W} = \begin{bmatrix} \mathbf{f} \\ \mathbf{a} \times \mathbf{f} \end{bmatrix} = k(l - l_0)\mathbf{N} = k(1 - \varepsilon^{-1})\mathbf{N}, \quad (10)$$

де  $k$  – осьова жорсткість ланки;

$\mathbf{N}$  – нормалізований вектор плюкерових координат ланки

$$\mathbf{N} = \begin{bmatrix} \mathbf{n} \\ \mathbf{a} \times \mathbf{n} \end{bmatrix} = \begin{bmatrix} \mathbf{n} \\ \mathbf{b} \times \mathbf{n} \end{bmatrix}. \quad (11)$$

Тоді

$$\begin{aligned} \mathbf{N}^T d\mathbf{S} &= \begin{bmatrix} \mathbf{n} \\ \mathbf{b} \times \mathbf{n} \end{bmatrix}^T \begin{bmatrix} dl\mathbf{n} + l d\mathbf{n} + \mathbf{b} \times \delta\mathbf{i} \\ \delta\mathbf{i} \end{bmatrix} = dl\mathbf{n}^T \mathbf{n} + l \mathbf{n}^T d\mathbf{n} + \mathbf{n}^T (\mathbf{b} \times \delta\mathbf{i}) + (\mathbf{b} \times \mathbf{n})^T \delta\mathbf{i} = \\ &= dl\mathbf{n}^T \mathbf{n} + l \mathbf{n}^T d\mathbf{n} + \mathbf{n} \cdot (\mathbf{b} \times \delta\mathbf{i}) - (\mathbf{n} \times \mathbf{b}) \cdot \delta\mathbf{i} = dl\mathbf{n}^T \mathbf{n} + l \mathbf{n}^T d\mathbf{n} + \mathbf{n} \cdot (\mathbf{b} \times \delta\mathbf{i}) - (\mathbf{b} \times \delta\mathbf{i}) \cdot \mathbf{n}. \end{aligned} \quad (12)$$

Оскільки  $\mathbf{n}^T \mathbf{n} = 1$ ,  $\mathbf{n}^T d\mathbf{n} = 0$ , а  $\mathbf{n} \cdot (\mathbf{b} \times \delta\mathbf{i}) = (\mathbf{b} \times \delta\mathbf{i}) \cdot \mathbf{n}$  згідно циклічним властивостям змішаного добутку [3], одержуємо

$$\mathbf{N}^T d\mathbf{S} = dl. \quad (13)$$

Іншу залежність можна вивести з (11) та (4)

$$d(l\mathbf{N}) = \begin{bmatrix} d(l\mathbf{n}) \\ \mathbf{a} \times d(l\mathbf{n}) \end{bmatrix} = \begin{bmatrix} d\mathbf{r} - \mathbf{b} \times \delta\mathbf{n} \\ \mathbf{a} \times (d\mathbf{r} - \mathbf{b} \times \delta\mathbf{n}) \end{bmatrix} = \begin{bmatrix} d\mathbf{r} - \mathbf{b} \times \delta\mathbf{n} \\ \mathbf{a} \times d\mathbf{r} - \mathbf{a} \times \mathbf{b} \times \delta\mathbf{n} \end{bmatrix} = \begin{bmatrix} E & -[\mathbf{b}]_{\times} \\ [\mathbf{a}]_{\times} & -[\mathbf{a}]_{\times}[\mathbf{b}]_{\times} \end{bmatrix} d\mathbf{S}, \quad (14)$$

де  $E$  – одинична матриця;

$[\mathbf{a}]_{\times}, [\mathbf{b}]_{\times}$  – породжені векторними добутками кососиметричні матриці [3], наприклад

$$[\mathbf{b}]_{\times} = \begin{bmatrix} 0 & -b_3 & b_2 \\ b_3 & 0 & -b_1 \\ -b_2 & b_1 & 0 \end{bmatrix}. \quad (15)$$

Згідно з (10), нескінченно мала зміна навантаження дорівнює

$$d\mathbf{W} = d(k(l-l_0)\mathbf{N}) = k[\mathbf{N}dl + (1-\varepsilon^{-1})ld\mathbf{N}]. \quad (16)$$

Враховуючи, що  $d(l\mathbf{N}) = dl\mathbf{N} + l d\mathbf{N}$ , маємо

$$d\mathbf{W} = k\mathbf{N}dl + k(1-\varepsilon^{-1})[d(l\mathbf{N}) - dl\mathbf{N}] = k\varepsilon^{-1}\mathbf{N}dl + k(1-\varepsilon^{-1})d(l\mathbf{N}). \quad (17)$$

З врахуванням (13) та (14)

$$d\mathbf{W} = k\varepsilon^{-1}\mathbf{N}\mathbf{N}^T d\mathbf{S} + k(1-\varepsilon^{-1}) \begin{bmatrix} E & -[\mathbf{b}]_{\times} \\ [\mathbf{a}]_{\times} & -[\mathbf{a}]_{\times}[\mathbf{b}]_{\times} \end{bmatrix} d\mathbf{S}. \quad (18)$$

Тоді згідно з (3) матриця жорсткості дорівнює

$$K = k\varepsilon^{-1}\mathbf{N}\mathbf{N}^T + k(1-\varepsilon^{-1}) \begin{bmatrix} E & -[\mathbf{b}]_{\times} \\ [\mathbf{a}]_{\times} & -[\mathbf{a}]_{\times}[\mathbf{b}]_{\times} \end{bmatrix}. \quad (19)$$

Матриця жорсткості представляє собою суму двох матриць, перша з яких симетрична внаслідок симетрії  $\mathbf{N}\mathbf{N}^T$ , а друга несиметрична внаслідок нерівності векторів  $\mathbf{a}$  та  $\mathbf{b}$ . Якщо ланка знаходиться в початковому недеформованому стані ( $l=l_0$ ,  $\varepsilon=1$ ), друга частина (19) обертається на нуль, а матриця жорсткості стає симетричною

$$K = k\varepsilon^{-1}\mathbf{N}\mathbf{N}^T. \quad (20)$$

Якщо кожна ланка знаходиться у початковому недеформованому стані, матриця жорсткості приймає вигляд (1).

Підставляючи (11) у (19), одержимо блочний вигляд матриці жорсткості

$$\begin{aligned} K &= k\varepsilon^{-1} \begin{bmatrix} \mathbf{n} \\ \mathbf{a} \times \mathbf{n} \end{bmatrix} \begin{bmatrix} \mathbf{n}^T & (\mathbf{a} \times \mathbf{n})^T \end{bmatrix} + k(1-\varepsilon^{-1}) \begin{bmatrix} E & -[\mathbf{b}]_{\times} \\ [\mathbf{a}]_{\times} & -[\mathbf{a}]_{\times}[\mathbf{b}]_{\times} \end{bmatrix} = \\ &= \begin{bmatrix} k\varepsilon^{-1}\mathbf{n}\mathbf{n}^T + k(1-\varepsilon^{-1})E & -k\varepsilon^{-1}\mathbf{n}\mathbf{n}^T[\mathbf{a}]_{\times} - k(1-\varepsilon^{-1})[\mathbf{b}]_{\times} \\ k\varepsilon^{-1}[\mathbf{a}]_{\times}\mathbf{n}\mathbf{n}^T + k(1-\varepsilon^{-1})[\mathbf{a}]_{\times} & -k\varepsilon^{-1}[\mathbf{a}]_{\times}\mathbf{n}\mathbf{n}^T[\mathbf{a}]_{\times} - k(1-\varepsilon^{-1})[\mathbf{a}]_{\times}[\mathbf{b}]_{\times} \end{bmatrix}. \end{aligned} \quad (21)$$

Структура матриці жорсткості часто розглядається у вигляді блоків  $3 \times 3$  [4]

$$K = \begin{bmatrix} A & B \\ C & D \end{bmatrix}, \quad (22)$$

Тоді

$$A = k(\varepsilon^{-1}\mathbf{n}\mathbf{n}^T + (1-\varepsilon^{-1})E) = k(\varepsilon^{-1}(\mathbf{n}\mathbf{n}^T - E) + E) = k(\varepsilon^{-1}[\mathbf{n}]_{\times}[\mathbf{n}]_{\times} + E), \quad (23)$$

$$B = -k(\varepsilon^{-1}\mathbf{n}\mathbf{n}^T[\mathbf{a}]_{\times} - (1-\varepsilon^{-1})[\mathbf{b}]_{\times}), \quad (24)$$

$$C = k(\varepsilon^{-1}[\mathbf{a}]_{\times}\mathbf{n}\mathbf{n}^T + [\mathbf{a}]_{\times} - \varepsilon^{-1}[\mathbf{a}]_{\times}) = k(\varepsilon^{-1}[\mathbf{a}]_{\times}(\mathbf{n}\mathbf{n}^T - E) + [\mathbf{a}]_{\times}) = k[\mathbf{a}]_{\times}(\varepsilon^{-1}[\mathbf{n}]_{\times}[\mathbf{n}]_{\times} + E), \quad (25)$$

$$D = -k[\mathbf{a}]_{\times}(\varepsilon^{-1}\mathbf{n}\mathbf{n}^T[\mathbf{a}]_{\times} - k(1-\varepsilon^{-1})[\mathbf{b}]_{\times}). \quad (26)$$

Можна помітити, що підматриця сполучної жорсткості дорівнює моменту підматриці поступальної жорсткості  $C = -[\mathbf{a}]_{\times}A$ , а підматриця крутильної жорсткості визначається моментом підматриці сполучної жорсткості  $D = [\mathbf{a}]_{\times}B$ , подібно до випадку відсутності попереднього навантаження [2].

Знайдемо симетричну частину матриці жорсткості

$$K_{\text{сим}} = \frac{K + K^T}{2} = \\ = \frac{k\varepsilon^{-1}\mathbf{N}\mathbf{N}^T + (\varepsilon^{-1}\mathbf{N}\mathbf{N}^T)^T}{2} + \frac{k(1-\varepsilon^{-1})}{2} \begin{bmatrix} E+E & -[\mathbf{b}]_\times + ([\mathbf{a}]_\times)^T \\ [\mathbf{a}]_\times + (-[\mathbf{b}]_\times)^T & -[\mathbf{a}]_\times[\mathbf{b}]_\times + (-[\mathbf{a}]_\times[\mathbf{b}]_\times)^T \end{bmatrix}. \quad (27)$$

Враховуючи симетрію першої частини матриці та деякі правила теорії матриць

$$K_{\text{сим}} = k\varepsilon^{-1}\mathbf{N}\mathbf{N}^T + \frac{k(1-\varepsilon^{-1})}{2} \begin{bmatrix} 2E & -[\mathbf{a}]_\times - [\mathbf{b}]_\times \\ [\mathbf{a}]_\times + [\mathbf{b}]_\times & -[\mathbf{a}]_\times[\mathbf{b}]_\times - [\mathbf{b}]_\times[\mathbf{a}]_\times \end{bmatrix}. \quad (28)$$

Знайдемо асиметричну частину матриці жорсткості

$$K_{\text{асим}} = \frac{K - K^T}{2} = \\ = \frac{k\varepsilon^{-1}\mathbf{N}\mathbf{N}^T - (\varepsilon^{-1}\mathbf{N}\mathbf{N}^T)^T}{2} + \frac{k(1-\varepsilon^{-1})}{2} \begin{bmatrix} E-E & -[\mathbf{b}]_\times - ([\mathbf{a}]_\times)^T \\ [\mathbf{a}]_\times - (-[\mathbf{b}]_\times)^T & -[\mathbf{a}]_\times[\mathbf{b}]_\times - (-[\mathbf{a}]_\times[\mathbf{b}]_\times)^T \end{bmatrix} = \\ = \frac{k(1-\varepsilon^{-1})}{2} \begin{bmatrix} 0 & [\mathbf{a}]_\times - [\mathbf{b}]_\times \\ [\mathbf{a}]_\times - [\mathbf{b}]_\times & [\mathbf{b}]_\times[\mathbf{a}]_\times - [\mathbf{a}]_\times[\mathbf{b}]_\times \end{bmatrix} = \frac{k(1-\varepsilon^{-1})}{2} \begin{bmatrix} 0 & [\mathbf{a}-\mathbf{b}]_\times \\ [\mathbf{a}-\mathbf{b}]_\times & [\mathbf{b}\times\mathbf{a}]_\times \end{bmatrix}. \quad (29)$$

Якщо врахувати, що  $\mathbf{b}-\mathbf{a}=l\mathbf{n}$ , а  $\mathbf{a}\times\mathbf{b}=\mathbf{a}\times l\mathbf{n}$  (оскільки площа паралелограма, утвореного векторами  $\mathbf{a}$  та  $\mathbf{b}$ , дорівнює площі паралелограма з векторів  $\mathbf{a}$  та  $l\mathbf{n}$ ), маємо

$$K_{\text{асим}} = -\frac{k(1-\varepsilon^{-1})}{2} \begin{bmatrix} 0 & [l\mathbf{n}]_\times \\ [l\mathbf{n}]_\times & [\mathbf{a}\times l\mathbf{n}]_\times \end{bmatrix}. \quad (30)$$

Оскільки  $k(1-\varepsilon^{-1})l\mathbf{n}=\mathbf{f}$ ,

$$K_{\text{асим}} = -\frac{1}{2} \begin{bmatrix} 0 & [\mathbf{f}]_\times \\ [\mathbf{f}]_\times & [\mathbf{a}\times\mathbf{f}]_\times \end{bmatrix}. \quad (31)$$

Таким чином, асиметрична частина матриці жорсткості пропорційна зовнішньому навантаженню із від'ємним знаком. Позадіагональні блоки дорівнюють кососиметричній матриці, утвореній вектором сили, верхній діагональний блок нульовий (тобто підматриця поступальної жорсткості завжди симетрична), а нижній діагональний блок представляє собою момент вектору сили відносно початку координат у вигляді кососиметричної матриці. Фактично вираз (31) представляє собою половину навантаження, вираженого у формі оператора просторового векторного добутку [5].

Подібно до (1), матриця жорсткості системи  $n$  пружних ланок дорівнює сумі матриць жорсткості окремих ланок

$$K_O = \sum_{i=1}^n k_i \left[ \varepsilon_i^{-1} \mathbf{N}_i \mathbf{N}_i^T + (1-\varepsilon_i^{-1}) U_i \right], \quad (32)$$

$$\text{де } U_i = \begin{bmatrix} E & -[\mathbf{b}_i]_\times \\ [\mathbf{a}_i]_\times & -[\mathbf{a}_i]_\times[\mathbf{b}_i]_\times \end{bmatrix}.$$

Відносне подовження ланок можна визначити як

$$\varepsilon_i = 1 - \frac{F_i}{k_i \cdot l_i}, \quad (33)$$

де  $F_i$  – зусилля у ланці;

$k_i$  – жорсткість ланки;

$l_i$  – довжина ланки.

У [4] показано, що силові спiввiдношення механiзmu паралельної структури з ланками змiнної довжини можна характеризувати за допомогою якобiана, тобто

$$\mathbf{W} = J^{-T} \mathbf{F}, \quad (34)$$

де  $\mathbf{W}$  – навантаження на робочий орган;

$\mathbf{F}$  – вектор зусиль у ланках;

$J^{-T}$  – транспонований якобіан зворотної кінематичної залежності.

Тоді

$$\mathbf{F} = J^T \mathbf{W}, \quad (35)$$

де  $J^T$  – транспонований якобіан прямої кінематичної залежності.

Різниця між підматрицями поступальної жорсткості навантаженої та ненавантаженої ланок дорівнює

$$\Delta K_n = K_n - K_{n0} = k(\varepsilon^{-1} \mathbf{n} \mathbf{n}^T + (1 - \varepsilon^{-1}) E) - k \mathbf{n} \mathbf{n}^T = k(1 - \varepsilon^{-1})(E - \mathbf{n} \mathbf{n}^T), \quad (36)$$

а для механізму паралельної структури в цілому

$$\Delta K_n = k \sum_{i=1}^n (1 - \varepsilon_i^{-1})(E - \mathbf{n}_i \mathbf{n}_i^T). \quad (37)$$

Розглянемо гексапод структури  $3 \times 3$  у центральному положенні з радіусом розміщення шарнірів основи  $R_A = 0,5$  м, рухомої платформи  $R_B = 0,25$  м, відстань між основою та рухомою платформою складає  $z_0 = 0,5$  м, а жорсткість штанг приймаємо  $100 \text{ Н/мкм} = 10^8 \text{ Н/м}$ . Відповідно до залежностей [4] довжина ланок у центральному положенні складає  $l = 0,661$  м, а якобіан зворотної кінематичної залежності дорівнює

$$J = \begin{pmatrix} 0.327 & -0.327 & 0.655 & 0.655 & 0.327 & -0.327 \\ 0.567 & 0.567 & 0 & 0 & 0.567 & -0.567 \\ 0.756 & 0.756 & 0.756 & 0.756 & 0.756 & 0.756 \\ 0.378 & -0.189 & -0.189 & -0.189 & -0.189 & 0.378 \\ 0 & -0.327 & -0.327 & 0.327 & 0.327 & 0 \\ -0.164 & 0.164 & -0.164 & 0.164 & -0.164 & 0.164 \end{pmatrix}.$$

Приймаємо, що у центрі робочого органа прикладені сили величиною 1000 Н у кожному координатному напрямку, тоді вектор навантаження дорівнює

$$\mathbf{W}^T = (1000 \ 1000 \ 1000 \ -500 \ 500 \ 0).$$

Зусилля у ланках розрахуємо згідно з (35)

$$\mathbf{F}^T = (34.1 \ 406.9 \ -288.7 \ 729.7 \ 916 \ -475.1).$$

Тоді відносні деформації згідно з (33) дорівнюють

$$\varepsilon = (0.99999948 \ 0.99999385 \ 1.00000436 \ 0.99998897 \ 0.99998615 \ 1.00000718).$$

Визначаємо матрицю жорсткості згідно з (32)

$$K = \begin{pmatrix} 1.286 \cdot 10^8 & -1.714 \cdot 10^3 & 1.143 \cdot 10^3 & 714.319 & 6.428 \cdot 10^7 & 1.143 \cdot 10^3 \\ -1.714 \cdot 10^3 & 1.286 \cdot 10^8 & 1.143 \cdot 10^3 & -6.429 \cdot 10^7 & -714.319 & -1.143 \cdot 10^3 \\ 1.143 \cdot 10^3 & 1.143 \cdot 10^3 & 3.429 \cdot 10^8 & -1.429 \cdot 10^3 & 1.429 \cdot 10^3 & 5.942 \cdot 10^{-7} \\ 714.319 & -6.429 \cdot 10^7 & -428.574 & 4.286 \cdot 10^7 & 517.875 & -500.01 \\ 6.429 \cdot 10^7 & -714.319 & 428.618 & 517.875 & 4.286 \cdot 10^7 & -500.003 \\ 142.858 & -142.939 & 5.979 \cdot 10^{-7} & 0.044 & 5.548 \cdot 10^{-9} & 1.607 \cdot 10^7 \end{pmatrix}.$$

Симетрична та асиметрична частини матриці жорсткості

$$\frac{K + K^T}{2} = \begin{pmatrix} 1.286 \cdot 10^8 & -1.714 \cdot 10^3 & 1.143 \cdot 10^3 & 714.319 & 6.428 \cdot 10^7 & 642.861 \\ -1.714 \cdot 10^3 & 1.286 \cdot 10^8 & 1.143 \cdot 10^3 & -6.429 \cdot 10^7 & -714.319 & -642.916 \\ 1.143 \cdot 10^3 & 1.143 \cdot 10^3 & 3.429 \cdot 10^8 & -928.578 & 928.595 & 5.96 \cdot 10^{-7} \\ 714.319 & -6.429 \cdot 10^7 & -928.578 & 4.286 \cdot 10^7 & 517.875 & -249.983 \\ 6.428 \cdot 10^7 & -714.319 & 928.595 & 517.875 & 4.286 \cdot 10^7 & -250.002 \\ 642.861 & -642.916 & 5.96 \cdot 10^{-7} & -249.983 & -250.002 & 1.607 \cdot 10^7 \end{pmatrix},$$

$$\frac{K + K^T}{2} = \begin{pmatrix} 0 & 0 & 0 & 0 & -500.117 & 500.003 \\ 0 & 0 & 0 & 500.117 & 0 & -499.977 \\ 0 & 0 & 0 & -500.003 & 499.977 & 0 \\ 0 & -500.117 & 500.003 & 0 & 0 & -250.027 \\ 500.117 & 0 & -499.977 & 0 & 0 & -250.002 \\ -500.003 & 499.977 & 0 & 250.027 & 250.002 & 0 \end{pmatrix}.$$

Бачимо, що асиметрична частина матриці жорсткості з урахуванням похибок обчислення дорівнює половині зовнішнього навантаження, виражений у операторній формі (31).

Визначимо різницю між матрицями поступальної жорсткості навантаженої та ненавантаженої системи. Для розглянутого гексапода вона буде дорівнювати

$$\Delta K_{\text{п}} = \begin{pmatrix} -3.286 \cdot 10^3 & -1.714 \cdot 10^3 & 1.143 \cdot 10^3 \\ -1.714 \cdot 10^3 & 142.5 & 1.143 \cdot 10^3 \\ 1.143 \cdot 10^3 & 1.143 \cdot 10^3 & -857.344 \end{pmatrix}.$$

Максимальна відносна зміна координатної жорсткості внаслідок навантаження спостерігається у напрямку осі X і дорівнює  $\Delta K_{1,1}/K_{1,1} = -2.556 \cdot 10^{-5}$ . Отже, зміною жорсткості внаслідок попереднього навантаження можна знехтувати.

Висновки:

- При наявності попереднього навантаження матриця жорсткості стає асиметричною, причому її асиметрична частина пропорційна зовнішньому навантаженню із від'ємним знаком.
- Встановлено залежності для визначення відносних деформацій ланок та матриці жорсткості попередньо навантаженого механізму паралельної структури з ланками змінної довжини.
- При високій жорсткості ланок змінами матриці жорсткості внаслідок попереднього навантаження (наприклад, викликаного силами ваги робочого органа верстата), можна знехтувати.

## Список літератури

- Кириченко А.М. Показники жорсткості верстатного обладнання з паралельною кінематикою / А.М. Кириченко // Збірник наукових праць КНТУ. Техніка в с/г виробництві, галузеве машинобудування, автоматизація. – Вип. 22. – Кіровоград: КНТУ, 2009. – С.272-282.
- Кириченко А.М. Матриця жорсткості просторових механізмів паралельної структури з пружними ланками / А.М. Кириченко // Конструювання, виробництво та експлуатація сільськогосподарських машин / Вип. 40, ч. I. – Кіровоград: КНТУ, 2010. – С. 256-262.
- Кочин Н.Е. Векторное исчисление и начала тензорного исчисления / Кочин Н.Е. – М.: Наука, 1965. – 426 с.
- Струтинський В.Б. Теоретичний аналіз жорсткості шестикоординатного механізму паралельної структури / В.Б. Струтинський, А.М. Кириченко // Вісник Національного технічного університету України „Київський політехнічний інститут”. Серія „Машинобудування”. – 2009. – №57. – С. 198-207.
- Featherstone R. Rigid Body Dynamics Algorithms / R. Featherstone. – New York: Springer, 2008. – 272 p.

*A.Kirichenko*

**Влияние предварительного нагружения на пространственную жесткость рабочего органа станка с механизмом параллельной структуры**

Определены матрицы жесткости отдельных звеньев и общая матрица жесткости пространственного механизма со звеньями переменной длины в случае наличия предварительной нагрузки. Рассмотрено влияние величины нагрузки на пространственную жесткость.

*A.Kyrychenko*

**The impact of preload upon spatial stiffness of end effector of PKM-based machine tool**

The stiffness matrices of individual links and general stiffness matrix of spatial mechanism with variable-length links are determined in presence of preload. The impact of preload upon spatial stiffness is considered.

Одержано 25.05.10